

# Algorithmique pour l'algèbre linéaire creuse

## Introduction aux méthodes itératives

Pascal Hénon

5 janvier 2009

# Plan

- 1 Introduction aux méthodes de Krylov préconditionnées
- 2 Factorisations incomplètes
- 3 Utilisation du complément de Schur

# Plan

- 1 Introduction aux méthodes de Krylov préconditionnées
- 2 Factorisations incomplètes
- 3 Utilisation du complément de Schur

# Introduction aux méthodes de Krylov préconditionnées

## Méthode de Krylov :

On cherche une approximation de la solution de  $A.x = b$  dans un sous-espace “de Krylov” :

$$K(m, b) = \text{span}\{b, A.b, \dots, A^{m-1}.b\}$$

$$x_m = \alpha_1.b + \alpha_2.A.b + \dots + \alpha_{m-1}.A^{m-1}.b$$

telle que  $b - A.x_m \perp \mathcal{L}_m$  (condition de Petrov-Galerkin) ;  $\mathcal{L}_m$  est un sous espace vectoriel de dimension  $m$  (ex :  $\mathcal{L}_m = A.K_m$ )

Ceci revient à dire que l'on cherche un polynôme  $\mathcal{P}$  tel que :

$$A^{-1}.b \approx \mathcal{P}(A).b$$

# Introduction aux méthodes de Krylov préconditionnées

Il existe beaucoup de méthodes itératives de Krylov. Les variations résident généralement dans :

- le choix de  $\mathcal{L}_m$ ,
- le calcul d'une base pour  $K(m, b)$ ,
- Restart : on réinitialise la base de Krylov toutes les  $s$  itérations.

exemple : GMRES ( $\mathcal{L}_m = A.K_m$ ), Gradient Conjugué ( $\mathcal{L}_m = K_m$ ), BICG ( $\mathcal{L}_m = K_{A^t}(b, m)$ ), ...

## Référence

*Iterative Methods for Sparse Linear Systems.* Yousef Saad

# Introduction aux méthodes de Krylov préconditionnées

## Méthodes de Krylov :

*Trouver itérativement une solution approximée (ex : dans Krylov, l'espace de recherche est augmenté à chaque itération)*

La convergence dépend du nombre de conditionnement :

$$\|A\|_p \|A^{-1}\|_p$$

**Méthode de préconditionnement** : On transforme le système à l'aide d'un opérateur linéaire  $M$  tel que le nouveau système ait un meilleur conditionnement.

Plusieurs variantes sont possibles :

- précond. à gauche :  $M^{-1}.A.x = M^{-1}.b$ ;
- précond. à droite :  $A.M^{-1}u = b$ ,  $x = M^{-1}.u$ ;
- précond. découpé (cas sym.) :  $M^{-1}.A.M^{-t}.u = M^{-1}.b$ ,  
 $x = M^{-1}.u$ ;

# Introduction aux méthodes de Krylov préconditionnées

- En règle générale, on ne stocke pas  $M^{-1}.A$  sous forme matricielle on utilise  $(M^{-1}.A).x = M^{-1}.(A.x)$ . Pour que ce soit rentable il faut que  $M^{-1}.y$  soit peu coûteux à calculer.
- Usuellement, on cherche  $M$  proche de  $A$  (i.e.  $M^{-1} \approx A^{-1}$ ).
- $M$  n'est pas nécessairement une matrice ; par exemple  $M^{-1}.y$  peut être obtenu par un autre processus itératif.
- Si  $M$  varie à chaque itération, on utilise alors une méthode dite "flexible".
- On va s'intéresser au préconditionneur utilisant une technique de **factorisation incomplète**.  $M^{-1} : \simeq A^{-1} \approx U^{-1}.L^{-1}$ .

# Plan

- 1 Introduction aux méthodes de Krylov préconditionnées
- 2 Factorisations incomplètes
- 3 Utilisation du complément de Schur



- Factorisation directe :  $A = L.U$
- Factorisation incomplète :  $A = L.U + R$

On peut choisir d'imposer des contraintes sur  $R$  (remplissage, norme).

# Principe générale d'une factorisation incomplète

On distingue généralement 2 grandes familles :

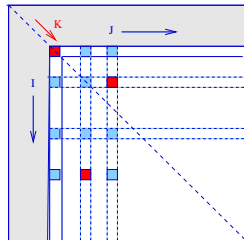
- les factorisations dont le remplissage est déterminé à l'avance (de manière **statique**) ; ces méthodes consistent à déterminer un schéma de remplissage à partir du graphe d'adjacence  $G(V, E)$  de la matrice creuse  $A$ .
- les factorisations dont le remplissage est déterminé au cours de la factorisation (de manière **dynamique**) ; ces méthodes consistent à ne garder au cours de la factorisation que les termes vérifiant un certain critère numérique (généralement une norme suffisamment élevée).

## Factorisation ILU avec remplissage prédéfini

```

1 pour  $(i, j) \in \mathcal{P}$  faire  $a_{ij} := 0$ 
2 pour  $k = 1$  à  $n - 1$  faire
3   |   pour  $i = k + 1$  à  $n$  tq  $(i, k) \notin \mathcal{P}$  faire
4     |    $a_{ik} := a_{ik} / a_{kk}$ 
5     |   pour  $j = k + 1$  à  $n$  tq  $(i, j) \notin \mathcal{P}$  faire
6       |    $a_{ij} := a_{ij} - a_{ik} * a_{kj}$ 
7     |   fin
8   |   fin
9 fin

```



# Factorisation ILU avec remplissage prédéfini

- Généralement, on construit  $\mathcal{P}$  en se basant uniquement sur le graphe d'adjacence  $G(V, E)$  de  $A$  (valeurs numériques pas prises en compte) ;
- Exemple le plus classique : ILU(0), IC(0),  
pour  $i > j$   $A_{i,j} = 0 \Rightarrow L_{ij} = 0$  (idem pour U).

# Caractérisation du remplissage dans les méthodes directes

## Théorème

*Un terme nul  $a_{ij}$  de  $A$  deviendra non nul dans la factorisation  $A = L.U$  ssi il existe un chemin allant du sommet  $i$  au sommet  $j$  en ne passant que par des sommets de plus petit numéro que  $i$  et  $j$  dans le graphe  $G(V, E)$  d'adjacence de  $A$ .*

# Caractérisation du remplissage en ILU(k)

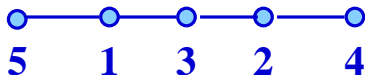
## Théorème

*Un terme nul  $a_{ij}$  de  $A$  deviendra non nul dans la factorisation ILU(k) de  $A$  ssi il existe un **plus court chemin de longueur  $k + 1$**  allant du sommet  $i$  au sommet  $j$  en ne passant que par des sommets de plus petit numéro que  $i$  et  $j$  dans le graphe  $G(V, E)$  d'adjacence de  $A$ .*

# Factorisation ILU(k)

Au cours du processus d'élimination, le niveau de remplissage d'un coefficient  $a_{ij}$  est défini par : Initialisation :  $\text{lev}(a_{ij}) = 0$  si  $a_{ij} \neq 0$  ; sinon  $\text{lev}(a_{ij}) = \text{inf}$

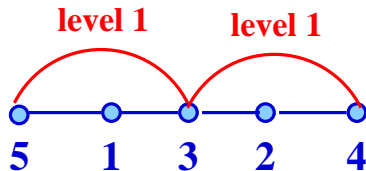
	1	2	3	4	5
1	×		×		×
2		×	×	×	
3	×	×	×		
4		×		×	
5	×				×



# Factorisation ILU(k)

Au cours du processus d'élimination, le niveau de remplissage d'un coefficient  $a_{ij}$  est défini par :  $\text{lev}(a_{ij}) = \min(\text{lev}(a_{ij}), \text{lev}(a_{ik}) + \text{lev}(a_{kj}) + 1)$ ;

	1	2	3	4	5
1	X		X		X
2		X	X	X	
3	X	X	X	●	●
4		X	●	X	
5	X		●		X

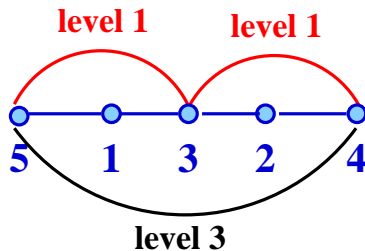




# Factorisation ILU(k)

Au cours du processus d'élimination, le niveau de remplissage d'un coefficient  $a_{ij}$  est défini par :

	1	2	3	4	5
1	×		×		×
2		×	×	×	
3	×	×	×	●	●
4		×	●	×	■
5	×		●	■	×



# Factorisation ILU(k)

```

1 Initialisation
2 pour tous les termes de  $A$  faire
3   si  $a_{ij} \neq 0$  alors  $\text{lev}(a_{ij}) := 0$ 
4   si  $a_{ij} = 0$  alors  $\text{lev}(a_{ij}) := \infty$ 
5 pour  $k = 1$  à  $n - 1$  faire
6   pour  $i = k + 1$  à  $n$  faire
7     si  $\text{lev}(a_{ik}) \leq p$  alors
8        $a_{ik} = a_{ik} / a_{kk}$ 
9       pour  $j = k + 1$  à  $n$  faire
10         $\text{lev}(a_{ij}) = \min(\text{lev}(a_{ij}), \text{lev}(a_{ik}) + \text{lev}(a_{kj}) + 1)$ 
11        si  $\text{lev}(a_{ij}) \leq p$  alors
12           $a_{ij} := a_{ij} - a_{ik} * a_{kj}$ 

```

## Factorisation symbolique ILU(k) (classique)

```

1 Initialisation
2 pour tous les termes de  $A$  faire
3   si  $a_{ij} \neq 0$  alors  $\text{lev}(a_{ij}) := 0$ 
4   si  $a_{ij} = 0$  alors  $\text{lev}(a_{ij}) := \infty$ 
5 pour  $k = 1$  à  $n - 1$  faire
6   pour  $i = k + 1$  à  $n$  faire
7     si  $\text{lev}(a_{ik}) \leq p$  alors
8       pour  $j = k + 1$  à  $n$  faire
9          $\text{lev}(a_{ij}) = \min(\text{lev}(a_{ij}), \text{lev}(a_{ik}) + \text{lev}(a_{kj}) + 1)$ 
10        si  $\text{lev}(a_{ij}) \leq p$  alors
11          on ajoute  $(i, j)$  dans la structure des nz de  $L, U$ 

```

# Factorisation symbolique ILU(k)

Facto. symbolique à partir du graphe d'adj. de  $A$

On peut aussi effectuer la factorisation symbolique en recherche tous les chemins d'élimination de longueurs  $k + 1$ .

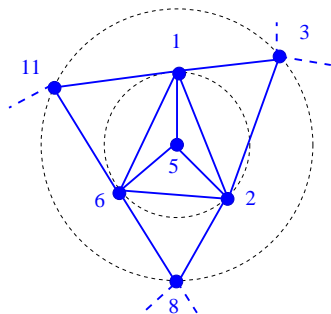
D. Hysom and A. Pothen. "A scalable parallel algorithm for incomplete factor preconditioning" SIAM SISC, 22(6) :2194–2215, 2001.

## Factorisation symbolique ILU(k)

```

1   $Q \leftarrow \{i\}$ 
2   $\text{length}[i] \leftarrow 0$ 
3  visited  $[i] \leftarrow i$ 
4  tant que  $Q \neq \emptyset$  faire
5  |    $h \leftarrow \text{Depile}(Q)$ 
6  |   pour  $t \in \text{adj}(h)$  avec visited  $t \neq i$ 
7  |   |   faire
8  |   |   |    $\text{visited}[t] \leftarrow i$ 
9  |   |   |   si  $t < i$  et  $\text{length}[h] < l$  alors
10  |   |   |   |    $\text{Empile}(Q, t)$ 
11  |   |   |   |    $\text{length}[t] \leftarrow \text{length}[h] + 1$ 
12  |   |   |   fin
13  |   |   si  $t > i$  alors on insère  $t$  dans
14  |   |   |    $\text{new\_adj}(i)$ 
15  |   fin
16  fin

```

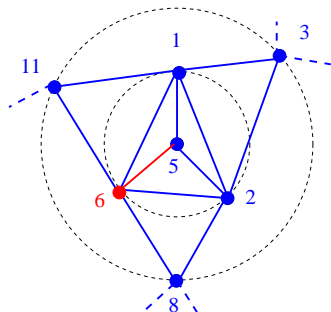


## Factorisation symbolique ILU(k)

```

1   $Q \leftarrow \{i\}$ 
2   $\text{length}[i] \leftarrow 0$ 
3  visited  $[i] \leftarrow i$ 
4  tant que  $Q \neq \emptyset$  faire
5  |    $h \leftarrow \text{Depile}(Q)$ 
6  |   pour  $t \in \text{adj}(h)$  avec visited  $t \neq i$ 
7  |   |   faire
8  |   |   |    $\text{visited}[t] \leftarrow i$ 
9  |   |   |   si  $t < i$  et  $\text{length}[h] < l$  alors
10  |   |   |   |    $\text{Empile}(Q, t)$ 
11  |   |   |   |    $\text{length}[t] \leftarrow \text{length}[h] + 1$ 
12  |   |   |   fin
13  |   |   si  $t > i$  alors on insère  $t$  dans
14  |   |    $\text{new\_adj}(i)$ 
15  |   fin
16  fin

```

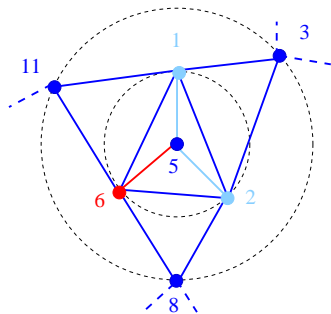


## Factorisation symbolique ILU(k)

```

1   $Q \leftarrow \{i\}$ 
2   $\text{length}[i] \leftarrow 0$ 
3  visited  $[i] \leftarrow i$ 
4  tant que  $Q \neq \emptyset$  faire
5  |    $h \leftarrow \text{Depile}(Q)$ 
6  |   pour  $t \in \text{adj}(h)$  avec visited  $t \neq i$ 
7  |   |   faire
8  |   |   |    $\text{visited}[t] \leftarrow i$ 
9  |   |   |   si  $t < i$  et  $\text{length}[h] < l$  alors
10  |   |   |   |    $\text{Empile}(Q, t)$ 
11  |   |   |   |    $\text{length}[t] \leftarrow \text{length}[h] + 1$ 
12  |   |   |   fin
13  |   |   si  $t > i$  alors on insère  $t$  dans
14  |   |   |    $\text{new\_adj}(i)$ 
15  |   fin
16  fin

```

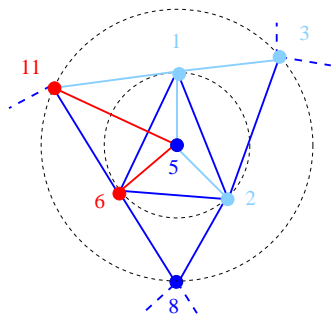


## Factorisation symbolique ILU(k)

```

1  $Q \leftarrow \{i\}$ 
2  $\text{length}[i] \leftarrow 0$ 
3 visited  $[i] \leftarrow i$ 
4 tant que  $Q \neq \emptyset$  faire
5    $h \leftarrow \text{Depile}(Q)$ 
6   pour  $t \in \text{adj}(h)$  avec visited  $t \neq i$ 
7   faire
8      $\text{visited}[t] \leftarrow i$ 
9     si  $t < i$  et  $\text{length}[h] < l$  alors
10    |    $\text{Empile}(Q, t)$ 
11    |    $\text{length}[t] \leftarrow \text{length}[h] + 1$ 
12    fin
13    si  $t > i$  alors on insère  $t$  dans
14     $\text{new\_adj}(i)$ 
15  fin
16 fin

```



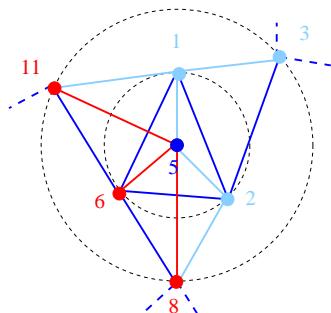


## Factorisation symbolique ILU(k)

```

1  $Q \leftarrow \{i\}$ 
2  $\text{length}[i] \leftarrow 0$ 
3 visited  $[i] \leftarrow i$ 
4 tant que  $Q \neq \emptyset$  faire
5    $h \leftarrow \text{Depile}(Q)$ 
6   pour  $t \in \text{adj}(h)$  avec visited  $t \neq i$ 
7   faire
8      $\text{visited}[t] \leftarrow i$ 
9     si  $t < i$  et  $\text{length}[h] < l$  alors
10       $\text{Empile}(Q, t)$ 
11       $\text{length}[t] \leftarrow \text{length}[h] + 1$ 
12    fin
13    si  $t > i$  alors on insère  $t$  dans
14     $\text{new\_adj}(i)$ 
15  fin
16 fin

```

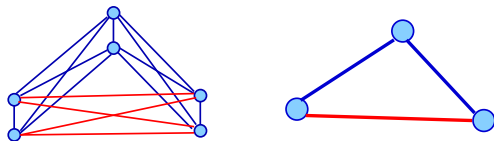


# Factorisation symbolique ILU(k)

A la fin de l'algorithme  $\text{new\_adj}(i)$  contient les indices des termes non nuls dans la colonne  $i$ . L'intérêt de cet algorithme est qu'il permet de calculer indépendamment la structure de toutes les colonnes.

# Factorisation symbolique par blocs pour ILU(k)

- La factorisation symbolique par blocs **pour le directe** est basée sur :  $Q(G, P) \longrightarrow Q(G, P)^* = Q(G^*, P)$ .
- Existe-t-il une partition telle que  $Q(G, P) \longrightarrow Q(G, P)^k = Q(G^k, P)$  ?
- Il en existe au moins 1 type : lorsque le graphe de  $A$  peut se quotienter “naturellement”.



# Factorisation symbolique par blocs pour ILU(k)

- Ex : dans une discrétisation de type éléments finis, un nœud du maillage représente plusieurs inconnues (ex : degrés de liberté) couplés entre eux ; ainsi chaque nœud du maillage représente une clique dans  $G(V, E)$  le graphe d'adj. de  $A$ . On prend alors  $P$  la partition des nœuds.
- La factorisation symbolique a, dans ce cas, une complexité fonction du nombre de nœuds du maillage et non du nombre d'inconnues (au contraire de la factorisation numérique).

# Factorisation ILU( $k$ ) par blocs

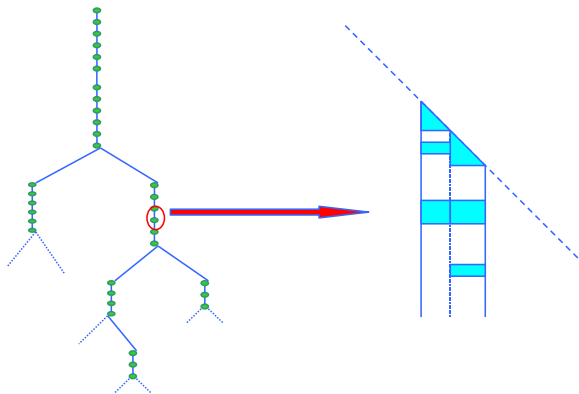
L'utilisation d'une structure bloc-dense dans les facteurs permet l'utilisation des routines BLAS niveau 3 (factorisation) et BLAS niveau 2 (résolution).

Si la taille initiale des blocs n'est pas suffisante on peut utiliser un algorithme **d'amalgamation** (ILU( $k$ ) par blocs dans PaStiX).

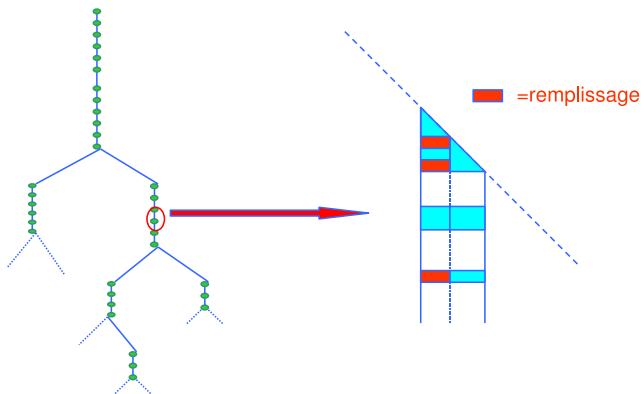
# Algorithme d'amalgamation

Le principe est d'autoriser une certaine tolérance de remplissage supplémentaire (éventuellement stocker des zéros) pour augmenter la taille des blocs denses (augmentation des performances des routines BLAS).

# Algorithme d'amalgamation

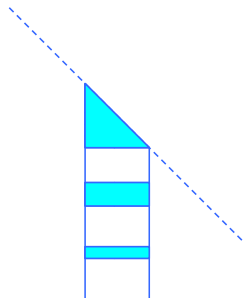
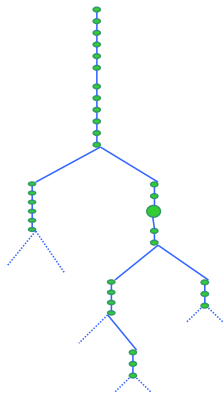


# Algorithme d'amalgamation

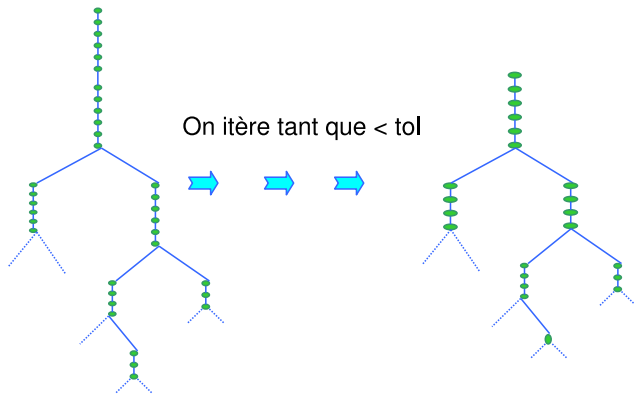




# Algorithme d'amalgamation



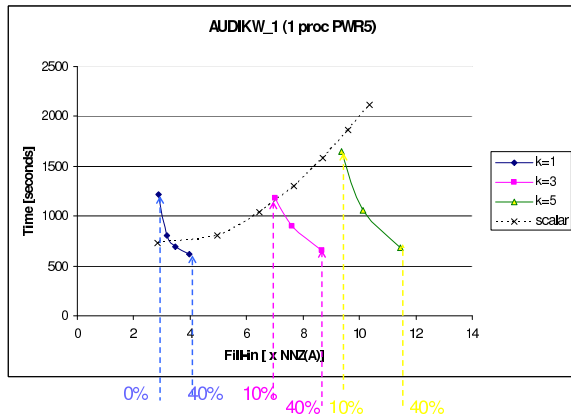
# Algorithme d'amalgamation



# Conditions d'expérience

- Résultats obtenus sur IBM power5 + switch "Federation" ;
- Résultats en double précision ;
- Méthode de Krylov GMRES ;
- Précision relative  $10^{-7}$
- AUDI\_KW1 (collection PARASOL) : matrice symétrique  
 $n = 943,695$ ,  $nnz(A) = 39,297,771$

## AUDI\_KW1 : PaStiX ILU(k)

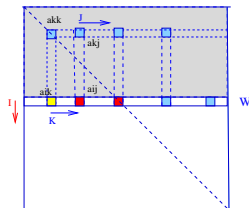


Factorisation ILUT( $\tau, p$ )

```

1  pour  $i = 1$  à  $n$  faire
2  |    $w := a_{i*}$ 
3  |   pour  $k = 1$  à  $i - 1$  et si  $w_k \neq 0$  faire
4  |   |    $w_k = w_k / a_{kk}$ 
5  |   |   Appliquer seuillage sur  $w_k$  ( $R_1$ )
6  |   |   si  $w_k \neq 0$  alors
7  |   |   |    $w := w - w_k * u_{k*}$ 
8  |   |   fin
9  |   fin
10 |   Appliquer seuillage sur  $w$  ( $R_2$ )
11 |    $l_{ij} := w_j$  pour  $j = 1, \dots, i - 1$ 
12 |    $u_{ij} := w_j$  pour  $j = i, \dots, n$ 
13 fin

```



- $R_1$  :  $w_k$  est remplacé par 0 si  $w_k < \tau \cdot \|a_{i*}\|_2$ .
- $R_2$  : on applique  $R_1$  à tous les éléments de  $w$ . On ne garde que les  $p$  plus grands.

# Factorisation ILUT( $\tau, \rho$ )

Quelques remarques :

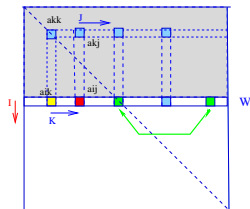
- structure dynamique (allocation par ligne).
- autre algo : version colonne ILUC( $\tau$ ) (utile en symétrique).
- utiliser un *scaling*  $D_r.A.D_c$  est souvent utile : par exemple  $D_r$  est une matrice diagonale telle que  $D_r(i, i)$  est  $\|A_{i*}\|^{-1}$  (idem par colonne pour  $D_c$ ) ;
- utilisation du paramètre  $\rho$  “dangereuse” ;
- possibilité de pivotage à moindre coût.

Factorisation ILUTP( $\tau, \rho$ )

```

1  pour  $i = 1$  à  $n$  faire
2       $w := a_{i*}$ 
3      pour  $k = 1$  à  $i - 1$  et si  $w_k \neq 0$  faire
4           $w_k = w_k / a_{kk}$ 
5          Appliquer seuillage sur  $w_k$  ( $R_1$ )
6          si  $w_k \neq 0$  alors
7               $w := w - w_k * u_{k*}$ 
8          fin
9      fin
10     Appliquer seuillage sur  $w$  ( $R_2$ )
11     Echanger  $w_i$  avec  $w_{max} = \max_{k>i}(w_k)$ 
12      $l_{ij} := w_j$  pour  $j = 1, \dots, i - 1$ 
13      $u_{ij} := w_j$  pour  $j = i, \dots, n$ 
14 fin

```



- $R_1$  :  $w_k$  est remplacé par 0 si  $w_k < \tau \cdot \|a_{i*}\|_2$ .
- $R_2$  : on applique  $R_1$  à tous les éléments de  $w$ . On ne garde

# Renumérotation des inconnues

La renumérotation des inconnues influence grandement les résultats de convergence :

- Pour ILU(0), parfois mieux de rien faire !
- Reverse Cuthill-McKee (RCM) pour remplissage “moyen” (petit  $k$  dans ILU( $k$ ) ou grand  $\tau$  petit  $p$  dans ILU( $\tau, p$ ) )
- Dissection emboîtée ( + Minimum degré ) pour remplissage plus important (comme en direct).

voir Benzi, Szyld, Duin, “Orderings for incomplete factorization preconditioning of nonsymmetric problems”, SIAM SISC, 17(1996), pp1135-1149.



# Remarques sur les factorisations ILU

- Factorisation symbolique réutilisable en  $ILU(k)$ .
- Robustesse depend du remplissage admis.
- Parallélisation “brute” difficile (sauf  $ILU(0)$ ) :
  - ▶ on les utilise souvent en tant que préconditionneurs locaux (i.e. séquentiel) par exemple en décomposition de domaine.
  - ▶ on ajoute des contraintes de remplissages supplémentaires pour faciliter le parallélisme.

# Plan

- 1 Introduction aux méthodes de Krylov préconditionnées
- 2 Factorisations incomplètes
- 3 Utilisation du complément de Schur

# Plan

- 1 Introduction aux méthodes de Krylov préconditionnées
- 2 Factorisations incomplètes
- 3 Utilisation du complément de Schur

# Le complément de Schur

En distinguant les inconnues du système en deux groupes d'inconnues B et C. Le système linéaire  $A.x = y$  peut s'écrire :

$$\begin{pmatrix} A_B & A_{BC} \\ A_{CB} & A_C \end{pmatrix} \cdot \begin{pmatrix} x_B \\ x_C \end{pmatrix} = \begin{pmatrix} y_B \\ y_C \end{pmatrix} \quad (1)$$

En exprimant  $x_B$  en fonction de  $x_C$  dans la 1ere ligne du système on a :

$$x_B = A_B^{-1} \cdot (y_B - A_{BC} \cdot x_C)$$

en reportant  $x_B$  dans la 2eme ligne on obtient :

$$(A_C - A_{CB} \cdot A_B^{-1} \cdot A_{BC}) \cdot x_C = y_C - A_{CB} \cdot A_B^{-1} \cdot y_B$$

# Le complément de Schur

En distinguant les inconnues du système en deux groupes d'inconnues B et C. Le système linéaire  $A.x = y$  peut s'écrire :

$$\begin{pmatrix} A_B & A_{BC} \\ A_{CB} & A_C \end{pmatrix} \cdot \begin{pmatrix} x_B \\ x_C \end{pmatrix} = \begin{pmatrix} y_B \\ y_C \end{pmatrix} \quad (1)$$

$A.x = y$  ainsi décomposé peut se résoudre en 3 étapes :

$$\begin{cases} A_B \cdot z_B = y_B \\ S \cdot x_C = y_C - A_{CB} \cdot z_B \\ A_B \cdot x_B = y_B - A_{BC} \cdot x_C \end{cases} \quad (2)$$

$$\text{avec } S = A_C - A_{CB} \cdot \mathbf{A}_B^{-1} \cdot A_{BC} = A_C - A_{CB} \cdot \mathbf{U}_B^{-1} \cdot \mathbf{L}_B^{-1} \cdot A_{BC}$$

# Le complément de Schur

Remarque : La factorisation LU de  $A$  peut s'écrire sous la forme :

$$A \approx \begin{pmatrix} L_B & \\ A_{CB}U_B^{-1} & L_S \end{pmatrix} \times \begin{pmatrix} U_B & L_B^{-1}A_{BC} \\ & U_S \end{pmatrix} \quad (2)$$

$$\text{avec } S = A_C - A_{CB} \cdot \mathbf{A}_B^{-1} \cdot A_{BC} = A_C - A_{CB} \cdot \mathbf{U}_B^{-1} \cdot \mathbf{L}_B^{-1} \cdot A_{BC}$$

## Exemple d'utilisation : ILU multi-niveaux

On peut construire récursivement une suite de systèmes à résoudre :

$$\begin{cases} A_B^{(k)} \cdot z_B = y_B^{(k)} \\ S^{(k)} \cdot x_C = y_C^{(k)} - A_{CB}^{(k)} \cdot z_B \\ A_B^{(k)} \cdot x_B = y_B^{(k)} - A_{BC}^{(k)} \cdot x_C \end{cases}$$

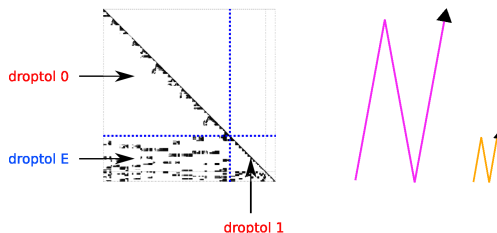
$$\begin{cases} A^{(k+1)} = S^{(k)} \\ y^{(k+1)} = y_C^{(k)} - A_{CB}^{(k)} \cdot z_B \end{cases}$$

Les niveaux peuvent être construits avec différents critères :

- numériques (ARMS,...)
- décomposition du graphe de A (interface : HIPS).

# Exemple d'utilisation : ILU multi-niveaux

On peut construire récursivement une suite de systèmes à résoudre :

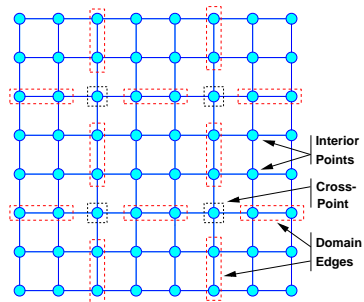
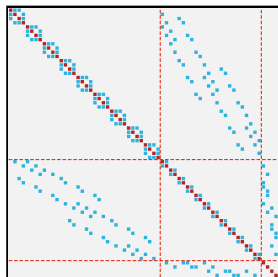


Les niveaux peuvent être construits avec différents critères :

- numériques (ARMS,...)
- décomposition du graphe de  $A$  (interface : HIPS).



## Exemple d'utilisation : ILU multi-niveaux, HIPS

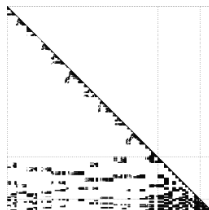
Grille 2D  $8 \times 8$ .

La matrice permutée.

## Exemple d'utilisation : méthode hybride directe/itérative

- ▶ Exemple de remplissage (bcsstk14)

$$\begin{pmatrix} L_B & \\ A_{CB}U_B^{-1} & S \end{pmatrix}$$



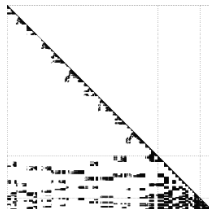
$$\begin{cases} A_B \cdot z_B = y_B \\ S \cdot x_C = y_C - A_{CB} \cdot z_B \\ A_B \cdot x_B = y_B - A_{BC} \cdot x_C \end{cases} \quad (2)$$

$$\text{avec } S = A_C - A_{CB} \cdot \mathbf{A}_B^{-1} \cdot A_{BC} = A_C - A_{CB} \cdot \mathbf{U}_B^{-1} \cdot \mathbf{L}_B^{-1} \cdot A_{BC}$$

## Exemple d'utilisation : HIPS

- ▶ Exemple de remplissage (bcsstk14)

$$\begin{pmatrix} L_B & \\ A_{CB}U_B^{-1} & S \end{pmatrix}$$



- ▶ Eviter de stocker  $A_{CB}U_B^{-1}$  et  $S$  en mémoire (surtout en 3D!) :
  - On n'a pas besoin de la matrice  $S$ , pour calculer  $S.x$  on utilise :  $(A_C - A_{CB}.U_B^{-1}.L_B^{-1}.A_{BC}).x$
  - **ILUT** :  $A_{CB}U_B^{-1}$  (resp.  $L_B^{-1}A_{BC}$ ) est "creusé" par un critère de seuillage au cours de son calcul (algorithme ILUC(t) = "regarde à gauche") :  $\tilde{L}_S.\tilde{U}_S \approx \tilde{S} = (A_{CB}.\tilde{U}_B^{-1}).(L_B^{-1}.\tilde{A}_{BC}) \approx S$

# Test cases

Le remplissage et le nombre d'opérations sont donnés pour une méthode directe.

Matrix	unknowns	non-zeros	fill-in	OPC
MHD1	485,597	24,233,141	52.4	$9.0 \cdot 10^{12}$
AUDI	943,695	39,297,771	41.2	$5.4 \cdot 10^{12}$
Haltere	1,288,825	10,476,775	38.7	$7.5 \cdot 10^{12}$
Amande	6,994,683	58,477,383	53.9	$1.5 \cdot 10^{13}$

# Expériences avec HIPS

## Conditions expérimentales :

10 nodes of 2.6 Ghz quadri dual-core Opteron (Myrinet)

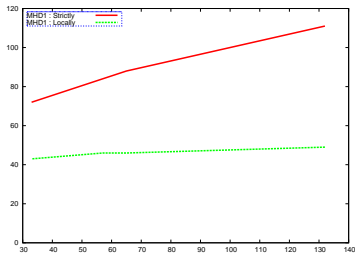
Partitionner : Scotch

$\|b - A.x\|/\|b\| < 10^{-7}$ , no restart in GMRES

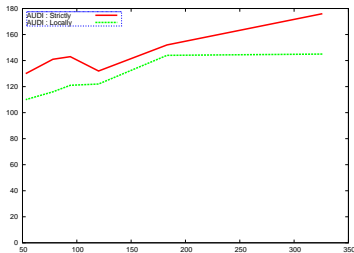
Thresholds : MHD1, Audi, Amade = 0.001, Haltere = 0.01

## HIPS : Itérations/nombre de domaines

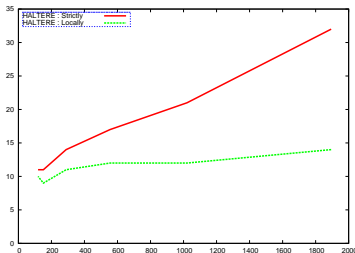
MHD1 (485, 597) : nb domaines from 33 to 132



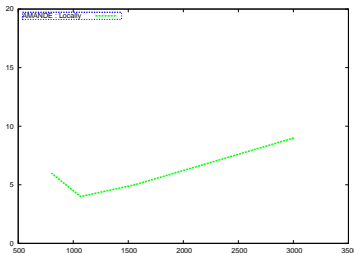
AUDI (943, 695) : nb domaines from 53 to 326



HALTERE (1, 288, 825) : nb domaines from 119 to 1894

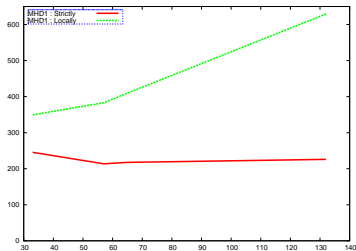


AMANDE (6, 994, 683) : nb domaines from 801 to 3004

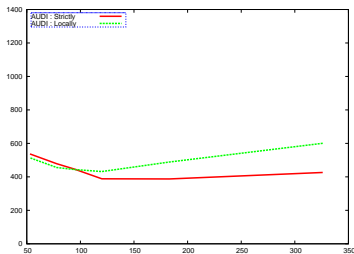


# HIPS : Temps (prec+solve seq.)/nombre de domaines

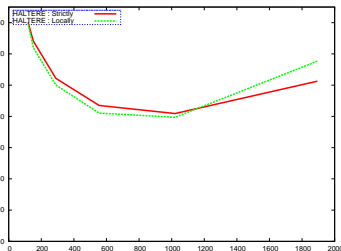
MHD1 (485, 597) : nb domaines from 33 to 132



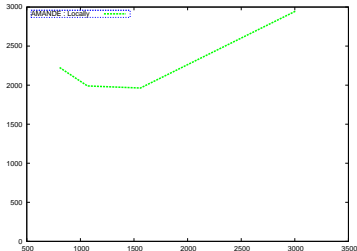
AUDI (943, 695) : nb domaines from 53 to 326



HALTERE (1, 288, 825) : nb domaines from 119 to 1894

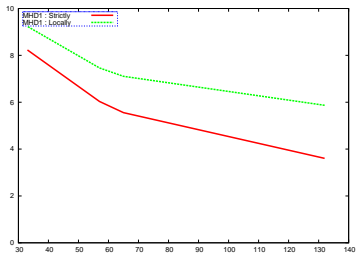


AMANDE (6, 994, 683) : nb domaines from 801 to 3004

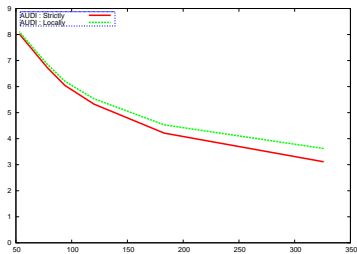


## Mémoire / nombre de domaines

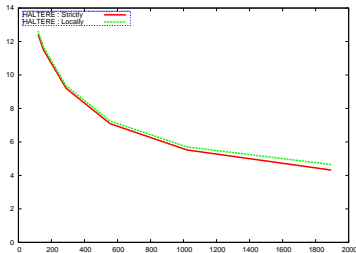
MHD1 (485, 597) : nb domaines from 33 to 132



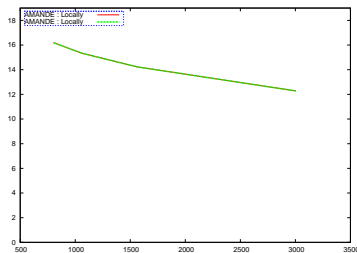
AUDI (943, 695) : nb domaines from 53 to 326



HALTERE (1, 288, 825) : nb domaines from 119 to 1894



AMANDE (6, 994, 683) : nb domaines from 801 to 3004





# Logiciels en rapport avec le cours

- ILUPACK : ILU multi-niveaux  
<http://www.math.tu-berlin.de/ilupack/>
- HIPS : ILU multi-niveaux, hybride directe/itératif  
<http://hips.gforge.inria.fr>
- PARMS : ILU multi-niveaux  
<http://www-users.cs.umn.edu/~saad/>
- PaStiX : Direct (MPI/Thread), ILU(k) par blocs  
<http://pastix.gforge.inria.fr>
- PETSc : meta-package  
<http://www-unix.mcs.anl.gov/petsc/petsc-as/>
- Trilinos : meta-package  
<http://trilinos.sandia.gov/>